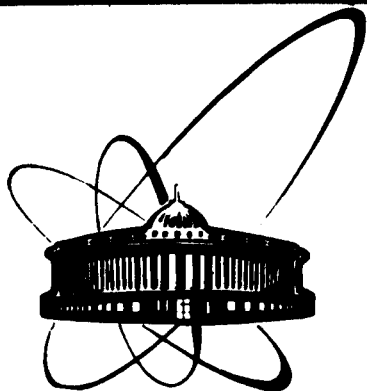


89-305



ОБЪЕДИНЕННЫЙ
ИНСТИТУТ
ЯДЕРНЫХ
ИССЛЕДОВАНИЙ
ДУБНА

P17-89-305

В. И. Юкалов

ВОЗНИКНОВЕНИЕ НИТЕВИДНЫХ СТРУКТУР
ПРИ ОПТИЧЕСКОМ СВЕРХИЗЛУЧЕНИИ

Направлено в журнал "Известия АН СССР,
серия физическая"

1989

Появление зернистой структуры излучения характерно для многих лазеров^{/1/}. Такое же явление наблюдается и в безрезонаторных сверхизлучающих системах^{/2-6/}. Для последних было проведено вычисление^{/7/} плотности вероятности излучения n фотонов в направлениях $\vec{k}_1, \vec{k}_2, \dots, \vec{k}_n$, и было показано, что наиболее вероятна ситуация, когда световой поток состоит из интенсивных лучей, содержащих определенное число фотонов. Более полное рассмотрение этой проблемы было дано в работах^{/8-10/}, в которых процесс образования нитей с повышенной светимостью трактовался как резонансный фазовый переход^{/11,12/}. Такой переход напоминает явление расслоения в конденсированных средах^{/13/}, однако отличается от расслоения тем, что неоднородность возникает не в системе атомов среды, а в подсистеме их коллективных возбуждений, в данном случае - это инверсион-поляритонные возбуждения^{/9,10/}. В настоящем сообщении предлагается дальнейшее развитие работ^{/8-10/}: исследуется зависимость характеристик эффекта от величины нерезонансной накачки и выясняется возможность сверхизлучательного режима, когда коэффициент когерентности^{/14/} гораздо больше единицы.

Пусть ансамбль N двухуровневых атомов с частотой перехода ω_0 возбуждается внешним резонансным полем частоты ω . Точнее говоря, имеет место квазирезонансная ситуация, когда расстройка мала:

$$\frac{|\Delta|}{\omega} \ll 1, \quad \Delta \equiv \omega - \omega_0. \quad (1)$$

Возбуждающее поле имеет вид плоской волны

$$\vec{E}_i(t) = \vec{E}_i e^{-i\omega t} = \vec{e} E \exp[i(kz_i - \omega t)], \quad (2)$$

где $|\vec{e}| = 1$, $k = \omega/c = 2\pi/\lambda$. Считаем, что система представляет собой цилиндр радиуса R и длины L . Такая форма характерна для лазеров. Ось цилиндра направлена вдоль оси \vec{z} . Выполняются также обычные неравенства

$$\frac{\lambda}{R} \ll 1, \quad \frac{R}{L} \ll 1. \quad (3)$$

При решении уравнений движения учитывается ширина уровня Γ и ширина линии γ ,

$$\Gamma = \frac{1}{T_1} = \frac{4\omega_0^3 d^2}{3c^3}, \quad \gamma = \frac{1}{T_2}, \quad (4)$$

а также наличие нерезонансной накачки, задаваемой параметром

$$\overline{\xi} = \frac{N_+ - N_-}{N} = \frac{1}{N} \sum_{i=1}^N \xi_i, \quad (\xi_i = \pm 1), \quad (5)$$

N_+ (N_-) - среднее число возбужденных (невозбужденных) атомов за счет накачки; здесь и далее $\hbar \equiv 1$. Атому с номером $i = 1, 2 \dots N$ сопоставляется дипольный момент перехода

$$\vec{d}_i = \vec{n}_i d, \quad (|\vec{n}_i| = 1). \quad (6)$$

При вычислениях используем теорию возмущений по параметру

$$\frac{k^2 d^2}{a\gamma} \ll 1, \quad (7)$$

в котором a - среднее межатомное расстояние. Система двухуровневых атомов, находящихся в поле усиливаемой резонансной моды (2) и взаимодействующих между собой посредством поля переизлучения

$$\vec{E}_{ij}^-(t) = \frac{k^2}{z_{ij}} \vec{n}_{ij} \times [\vec{d}_j \times \vec{n}_{ij}] \exp(i k z_{ij}) \vec{\sigma}_j^-(t),$$

где

$$z_{ij} \equiv |\vec{z}_i - \vec{z}_j|, \quad \vec{n}_{ij} \equiv \frac{\vec{z}_i - \vec{z}_j}{z_{ij}},$$

описывается гамильтонианом^{/9,10/}

$$\begin{aligned} \hat{H}(t) = & \frac{1}{2} \omega_0 \sum_i [1 + \sigma_i^z(t)] - \\ & - \frac{1}{2} \sum_i \vec{d}_i \left[\sigma_i^+(t) \vec{E}_i(t) + \vec{E}_i^+(t) \sigma_i^-(t) \right] - \\ & - \frac{1}{2} \sum_{i \neq j} \vec{d}_i \left[\sigma_i^+(t) \vec{E}_{ij}^-(t) + \vec{E}_{ij}^+(t) \sigma_i^-(t) \right], \quad (8) \end{aligned}$$

в котором $\sigma_i^z(t)$ - матрица Паули, $\sigma_i^\pm(t)$ - ступенчатые операторы. Гамильтониан (8) соответствует резонансному приближению Вайскоффа - Вигнера /15/ или, что то же самое, квантовому приближению вращающейся волны /12,15/. Все операторы написаны в гейзенберговском представлении. Операторы $\sigma_i^z(t)$ отвечают инверсионным возбуждениям, а $\sigma_i^\pm(t)$ - поляритонным. Параметры, входящие в гамильтониан, ω_0, ω, d, E , в принципе, могут быть адиабатически медленно меняющимися функциями времени. Дальнейшие результаты от этого не изменятся, если характерное время такого адиабатического изменения $T_{ad} = \Omega_{ad}^{-1}$ гораздо больше времени эксперимента τ_{ex} , в течение которого нас интересует поведение системы, $\Omega_{ad} \tau_{ex} \ll 1$. В данном случае появление так называемой фазы Берри /16-19/ можно не рассматривать. С другой стороны, если время эксперимента гораздо больше периода осцилляций в системе, $\omega_0 \tau_{ex} \gg 1$, то можно считать, что в системе устанавливается периодический режим. Тогда средние от операторов не зависят от вида начальной матрицы плотности. Для этой ситуации в полуклассическом приближении /12,20/ находим

$$\langle \sigma_i^z(t) \rangle = \xi_i \frac{\Delta^2 + \gamma^2}{\Delta^2 + \bar{\gamma}_i^2}, \quad (9)$$

$$\langle \sigma_i^\pm(t) \rangle = \frac{1}{2} \xi_i \frac{\Delta - i\gamma}{\Delta^2 + \bar{\gamma}_i^2} (\vec{d}_i \vec{E}_i) e^{-i\omega t},$$

где эффективная ширина линии задается равенством

$$\bar{\gamma}_i^2 = \gamma^2 \left(1 + \frac{|\vec{d}_i \vec{E}_i|^2}{\Gamma \gamma} \right). \quad (10)$$

В случае установившегося периодического режима средняя энергия $\langle \hat{H}(t) \rangle$ от времени не зависит. Для нее имеем

$$W = \langle \hat{H}(t) \rangle = W_0 + W_{int}; \quad (11)$$

первое слагаемое

$$W_0 = \frac{1}{2} N \omega_0 + \frac{1}{2} \sum_i \xi_i \frac{\omega_0 (\Delta^2 + \gamma^2) - \Delta |\vec{d}_i \vec{E}_i|^2}{\Delta^2 + \gamma^2 + (\gamma/\Gamma) |\vec{d}_i \vec{E}_i|^2} \quad (12)$$

- это энергия атомов во внешнем поле, а второе слагаемое в (II)

$$W_{\text{int}} = - \sum_{i \neq j} \vec{d}_i \cdot \vec{E}_j \quad (13)$$

- это энергия взаимодействия атомов за счет обмена фотонами, где интенсивность взаимодействия

$$\vec{J}_{ij} = (\vec{d}_i \cdot \vec{E}_i)^* (\vec{d}_j \cdot \vec{E}_j) \frac{k^3 (\Delta^2 + \gamma^2)}{4(\Delta^2 + \gamma_i^2)(\Delta^2 + \gamma_j^2)} \times \\ \times \left[(\vec{d}_i \cdot \vec{d}_j) - (\vec{d}_i \cdot \vec{n}_{ij})(\vec{d}_j \cdot \vec{n}_{ij}) \right] \frac{\cos(kz_{ij})}{kz_{ij}}$$

Направление поляризации дипольных моментов перехода (6) найдем из условия минимальности энергии (II) относительно (\vec{n}_i, \vec{e}) , что дает

$$(\vec{n}_i \cdot \vec{e})^2 = \begin{cases} 1, & \xi_i > 0, \\ 0, & \xi_i < 0 \end{cases} \quad (14)$$

Распределение величин ξ_i в среде также должно соответствовать минимальности энергии (II) при фиксированной характеристике накачки (5). Возможны две качественно различные ситуации: первая, когда ξ_i принимают случайные значения ± 1 вне зависимости от номера i , тогда в среднем среда однородна и везде можно заменить ξ_i на ξ ; вторая ситуация, когда ξ_i распределены в объеме неоднородно, так что образуется некоторая структура возбуждений. В образце цилиндрической формы естественно ожидать, что могут возникнуть структуры с цилиндрической симметрией. Таковыми являются нити, вытянутые вдоль оси цилиндра.

Перейдем к непрерывному представлению с помощью замены

$$\xi_i \rightarrow \xi(x_i, y_i), \quad \frac{1}{N} \sum_{i=1}^N \rightarrow \frac{1}{V} \int d\vec{r}_i, \quad (15)$$

где $V = \pi R^2 L$. Условие (5) принимает вид

$$\xi = \frac{1}{\pi R^2} \int \xi(x, y) dx dy. \quad (16)$$

Если возникает N_f нитей, радиус каждой из которых R_f , то обозначим область, которую они занимают через V_f . Будем считать, что атомы в нитях возбуждены, а вне нитей нет. То есть плотность накачки задается функцией

$$\xi(x, y) = \begin{cases} +1, & \{x, y\} \in V_f, \\ -1, & \{x, y\} \notin V_f. \end{cases} \quad (17)$$

При этом из (16) можно найти число нитей

$$N_f = \frac{1}{2} (1 + \xi) \left(\frac{R}{R_f} \right)^2. \quad (18)$$

Чтобы выяснить, какая структура возбуждений предпочтительнее, надо установить, для какой из них энергия системы минимальна. Для этого сравним энергии при однородном и нитевидном распределении возбуждений.

Рассмотрим сначала однородный случай $\xi(x, y) = \xi$.

При этом результаты зависят от величины накачки, то есть от знака ξ . Будем называть слабой накачкой случай $\xi \leq 0$ и сильной, когда $\xi > 0$. Эффективная ширина линии для этих двух ситуаций, в соответствии с (14), различна:

$$\bar{\gamma}_i^2 = \begin{cases} \gamma^2, & \xi \leq 0 \\ \gamma^2 \left(1 + \frac{d^2 E^2}{\Gamma \gamma} \right), & \xi > 0. \end{cases} \quad (19)$$

Для энергий (12) и (13) находим: при слабой накачке

$$W_0^{uni} = \frac{1}{2} N \omega_0 (1 + \xi),$$

$$W_{int}^{uni} = 0, \quad (\xi \leq 0)$$

и при сильной накачке

$$W_c^{uni} = \frac{1}{2} N \omega_0 \left[1 + \xi \frac{\Delta^2 + \bar{\gamma}^2 - (\Delta/\omega_0) d^2 E^2}{\Delta^2 + \bar{\gamma}^2 - (\gamma/\Gamma) d^2 E^2} \right], \quad (\xi > 0)$$

$$W_{int}^{uni} = -\xi^2 \frac{\pi N^2 E^2 d^4 (\Delta^2 + \bar{\gamma}^2)}{8 \lambda R^2 (\Delta^2 + \bar{\gamma}^2)^2} g\left(\frac{4\pi R^2}{\lambda L}\right),$$

где $\bar{\gamma} \equiv \bar{\gamma}_i$ ($\xi > 0$), $g(x) \equiv \sin x - x C_i(x)$.

При нитевидном распределении возбуждений по формуле (17) в качестве средней энергии получаем

$$W_0^{non} = \frac{1}{4} N \omega_0 (1 + \xi) \left[1 + \frac{\Delta^2 + \bar{\gamma}^2 - (\Delta/\omega_0) d^2 E^2}{\Delta^2 + \bar{\gamma}^2 + (\gamma/\Gamma) d^2 E^2} \right],$$

$$W_{int}^{non} = -N^2 (1 + \xi) \frac{\pi E^2 d^4 (\Delta^2 + \bar{\gamma}^2)}{16 \lambda R^2 (\Delta^2 + \bar{\gamma}^2)^2} g\left(\frac{4\pi R^2}{\lambda L}\right)$$

для любой величины накачки. Минимизируя среднюю энергию по R_f , находим радиус нити

$$R_f = 0,22 \sqrt{\lambda L}. \quad (20)$$

Сравнивая найденные значения энергий, убеждаемся, что при любой накачке, как слабой, так и сильной, $W^{non} < W^{uni}$, то есть нитевидная структура возбуждений выгоднее, чем однородная. Беря для оценки экспериментальные характеристики из работ ¹²⁻⁶⁷, $\lambda \sim 5 \cdot 10^{-5}$ см, $R \sim 0,1$ см, $L \sim 10 - 100$ см, получаем $R_f \sim 10^{-2}$ см, $N_f \sim 10^2 - 10^3$,

что согласуется с наблюдавшимися величинами для радиуса и числа нитей.

Возникновение нитей, излучающих когерентно, приводит к анизотропии в диаграмме направленности для интенсивности излучения. При выполнении неравенства

$$N^{2/3} \frac{3\lambda d^2 E^2}{64 a \gamma^2} \gg 1$$

осуществляется режим сверхизлучения, когда интенсивность когерентного излучения значительно превышает интенсивность некогерентного излучения.

Литература

1. Cullis A.G., Webber H.C., Bailey P.-J.Phys. 1979, E12, p.688.
2. Королев Ф.А., Абрахимов Г.В., Одинцов А.И., Якунин В.П.-Оптика и спектроскопия, 1970, 28, с.540.
3. Абрахимов Г.В.-Оптика и спектроскопия, 1971, 31, с.106.
4. Королев Ф.А., Абрахимов Г.В., Одинцов А.И.-Оптика и спектроскопия, 1972, 33, с.725.
5. Ищенко В.И., Лисицин В.Н., Ражев А.М., Раутиан С.Г., Шалагин А.М.-Письма в ЖЭТФ, 1974, 19, с.669.
6. Королев Ф.А., Одинцов А.И., Туркин Е.Г., Якунин В.П.-Квантовая электроника, 1975, 2, с.413.
7. Соколов И.В., Трифонов Е.Д.-ЖЭТФ, 1974, 67, с.481.
8. Емельянов В.И., Юкалов В.И.-Оптика и спектроскопия, 1986, 60, с.634.
9. Юкалов В.И. В кн.: Проблемы статистической механики. ОИЯИ, ДП7-88-95, Дубна, 1988, с.468.
10. Yukalov V.I.-J.Mod. Opt. 1988, 35, p.35.
11. Yukalov V.I.-Comm.Oxford Univ. DTP 98-80, Oxford, 1980.
12. Андреев А.В., Емельянов В.И., Ильинский Ю.А. Кооперативные явления в оптике. М.: Наука, 1988.
13. Yukalov V.I.-Acta Phys. Polon., 1980, v.A57, p.295.
14. Юкалов В.И. В кн.: Проблемы квантовой оптики. ОИЯИ, П17-88-689, Дубна, 1988, с.132.
15. Agarwal G.S. Quantum Statistical Theories of Spontaneous Emission and Their Relation to Other Approaches. Berlin: Springer, 1974.
16. Berry M.V. J.Phys. 1984, A17, p.1225.

17. Berry M.V.-J.Phys. 1984, A18, p.15.
18. Hannay J.H.-J.Phys. 1985, A18, p.221.
19. Simon B.-Phys.Rev.Lett. 1983, 51, p.2167.
20. Аллен А., Эберли Д. Оптический резонанс и двухуровневые атомы.
М.: Мир, 1978.

Рукопись поступила в издательский отдел
28 апреля 1989 года.